



بررسی تغییرات دامنه زیرباندهای الکتروانسفالوگرام در حین تشنجات موضعی در مدل صرعی پیلوکارپین

ساحل متقی^۱، محمد نیک نظر^۲، محمد سیاح^۳، وهاب باباپور^۱، بیژن وثوقی وحدت^۳، محمد باقر شمس اللہی^۳
 ۱. بخش فیزیولوژی دانشکده دامپزشکی دانشگاه تهران، تهران
 ۲. بخش فیزیولوژی و فارماکولوژی انسستیتو پاستور ایران، تهران
 ۳. بخش پردازش تصاویر و سیگنالهای بیومدیکال، دانشکده مهندسی برق دانشگاه صنعتی شریف، تهران

پذیرش: ۹۰ دی ۲۶

دریافت: ۱ آذر ۹۰

چکیده

مقدمه: صرع لوب گیجگاهی (TLE) شایعترین و مقاومترین صرع در بزرگسالان است. مدل صرعی پیلوکارپین دارای بیشترین شباهت رفتاری، مورفوЛОژیک و الکتروگرافیک به TLE می‌باشد. هدف از مطالعه حاضر بررسی تغییرات دامنه (بزرگی) زیرباندهای الکتروانسفالوگرام در خلال تشنجات موضعی در موشهای صحرایی صرعی شده با پیلوکارپین بود. تحلیل این تغییرات ممکن است به تشخیص پیش از موعده حملات صرعی کمک کند.

روشن‌ها: TLE با تزریق داخل صفاقی پیلوکارپین (380 mg/kg) ایجاد شد. جهت پیشگیری از عوارض کولینرژیک، نیم ساعت قبل از تجویز پیلوکارپین، اسکوپولامین (1 mg/kg) زیرجلدی تزریق می‌شد. ۲ ساعت پس از حمله مداوم صرعی (SE)، دیازپام (10 mg/kg) داخل صفاق تجویز می‌شد تا حملات خاتمه یابد. بوسیله الکترودهای سطحی از موشهای مصروف ثبت الکتروانسفالوگرام گرفته شد. سیگنال به دست آمده با استفاده از تبدیل ویولت دایبیشر (Daubichies wavelet transform) به زیرباندهای آلفا، بتا، گاما، بتا و دلتا تفکیک شد و پس از محاسبه توان (مریع دامنه) زیرباندها درهنگام تشنجات موضعی و قبل از تشنج در هر موش، میزان تغییر توان بصورت درصد بیان گردید.

یافته‌ها: ۶۵ درصد حیوانات SE نشان دادند. $4/4 \pm 5/39$ دقیقه پس از تزریق پیلوکارپین SE ظاهر می‌شد. تشنجات موضعی $4/3 \pm 0/8$ روز و تشنجات فراگیر $5/0 \pm 7$ روز بعد ظاهر شدند. در طی تشنجات موضعی، توان EEG و زیرباندهای کاهش یافت اما این کاهش از نظر آماری معنی دار نبود. بیشترین میزان کاهش در زیرباندهای بتا و گاما و کمترین میزان کاهش در زیرباندهای آلفا و بتا مشاهده شد.

نتیجه گیری: با توجه به پروتکل استفاده شده در این تحقیق به نظر می‌رسد در طی تشنجات موضعی ناشی از پیلوکارپین توان زیرباندهای الکتروانسفالوگرام دستخوش تغییر معنی داری نمی‌شوند.

واژه‌های کلیدی: الکتروانسفالوگرام، تشنجات موضعی، پیلوکارپین

آزادیم است و به تشنجاتی اطلاق می‌شود که بصورت راجعه و خود به خودی رخ می‌دهند [۳۱]. صرع لوب میانی گیجگاهی (MTLE) شایعترین علت تشنجات موضعی پیچیده محسوب می‌شود که در آن خاستگاه تشنجات از ساختارهای میانی لوب گیجگاهی بخصوص هیپوکمپ، آمیگدال و ژیروسپاراهیپوکمپ هستند [۳۲]. تزریق سیستمیک پیلوکارپین در

مقدمه

صرع سومین اختلال شایع نورولوژیک بعد از سکته مغزی و

sayyahm2@pasteur.ac.ir
www.phypha.ir/ppj

*نویسنده مسئول مکاتبات:
وبگاه مجله:

(Desynchronization) و کاهش بزرگی امواج آهسته با فرکانس کمتر از ۲۰ هرتز مشخص می‌شود. صرع و صرع زایی از جمله فرایندهایی هستند که در آنها همزمانی نورونها تغییر می‌کند [۱۸، ۹]. مطالعات نشان می‌دهند که در شروع تشنج در نواحی از مغز که در تشنج نقش دارند مسئله همزمانی مشاهده می‌شود به این معنی که در شروع صرع فعالیت الکتریکی با ولتاژ بالا رخ می‌دهد [۱]. همزمانی در تشنج می‌تواند به عنوان یک معیار برای ارزیابی شروع تشنج و همچنین شناخت نواحی درگیر در بروز حمله صرعی در نظر گرفته شود.

در این مطالعه به کمک الکترودهای سطحی از موشهای صحرایی مصروف با پیلوکارپین قبل، در حین و پس از تشنجات موضعی، ثبت الکتروانسفالوگرام گرفته شد. سپس تغییرات توان هر کدام از زیرباندها در موقع بروز تشنج نسبت به قبل از آن محاسبه شد. تجزیه و تحلیل این تغییرات می‌تواند به تشخیص پیش از موعد حملات صرعی کمک کند.

مواد و روش‌ها

در این مطالعه از موشهای صحرایی نر نژاد ویستار با محدوده وزنی ۲۵۰-۲۰۰ گرم پرورشی انسیتو پاستور ایران استفاده شد. موشهای در شرایط ۱۲ ساعت روشنایی و تاریکی و دسترسی آزاد به آب و غذا نگهداری می‌شدند. تمامی آزمایشات بر اساس شیوه نامه کمیته اخلاق کار با حیوانات آزمایشگاهی انسیتو پاستور ایران مبتنی بر استفاده از حداقل تعداد حیوانات و استفاده از روشهای منجر به کمترین میزان زجر، صورت پذیرفت.

صرع لوب گیجگاهی توسط پیلوکارپین هیدروکلراید (ساخت کمپانی سیگما) با دوز ۳۸۰ mg/kg و تزریق داخل صفاقی ایجاد شد. جهت پیشگیری از بروز عوارض کولینرژیک این ماده، حیوانات نیم ساعت قبل از تجویز پیلوکارپین، اسکوپولامین متیل نیترات (ساخت کمپانی سیگما) با دوز ۱ mg/kg از راه زیر جلدی دریافت می‌کردند. پس از تجویز پیلوکارپین حیوانات به مدت ۶۰ دقیقه مورد مشاهده قرار می‌گرفتند تا بروز حمله مداوم صرعی (SE) در آنها تشخیص داده شود. ۲ ساعت پس از بروز SE، دیازپام با دوز ۲۰ mg/kg، به حیوانات تزریق داخل صفاتی می‌شد تا حملات را متوقف نماید. بعد از بروز

موش صحرایی باعث ایجاد تشنجاتی برخاسته از نواحی میانی لوب گیجگاهی و بدنبال آن بروز تشنجات موضعی پیچیده می‌گردد. مدل صرعی پیلوکارپین بدليل شباهتهای رفتاری، مورفولوژیک، و الکتروگرافیک به صرع لوب گیجگاهی در انسان، مدل مناسبی برای بررسی این نوع صرع محسوب می‌شود بطوریکه در آن رفتارهای تشنجی در سه مرحله مشخص شامل حمله مداوم صرعی (Status epilepticus)، مرحله نهفته (Latent period) و مرحله مزمن یا رخداد (Spontaneous recurrent seizures) قابل تفکیک هستند [۲۹].

الکترو انسفالوگرام (EEG) یک معیار حساس برای ارزیابی فعالیت کلی مغز است و ناشی از فعالیت پتانسیل های سیناپسی میلیونها سلول هرمی در کورتکس مغز می‌باشد [۲]. بر اساس فرکانس امواج EEG در ۵ گروه تقسیم می‌شوند: ۱) امواج آلفا که در محدوده فرکانسی ۸ تا ۱۶ هرتز هستند و در انسان به طور عمده از ناحیه پس سری در حالت هوشیاری و آرامش با چشمکشیدن و همچنین سایر نواحی حسی از جمله قشر حسی حرکتی ثبت می‌شوند. شواهد نشان می‌دهد که این امواج در نژادهای مختلف موشهای صحرایی نیز از قشر حسی حرکتی ثبت می‌شوند و تحت تاثیر تالاموس هستند [۲۶، ۱۶]. ۲) امواج دلتا که شامل تمام امواج با فرکانس زیر ۴ هرتز هستند. این امواج در خواب عمیق ثبت می‌شوند [۲۶]. ۳) امواج بتا که از نئوکورتکس ثبت می‌شوند دارای دامنه کم، فرکانس بین ۱۶ تا ۳۰ هرتز و متأثر از فعل بودن مغز هستند [۲۶، ۱۴]. ۴) امواج گاما دارای فرکانس ۳۰ تا ۸۰ هرتز، مشابه امواج بتا تحت تاثیر فعالیت مغزی مانند هوشیاری و ادراک هستند و از هیپوکامپ و نئوکورتکس ثبت می‌شوند [۲۳، ۱۴]. ۵) امواج بتا فرکانس ۴ تا ۱۲ هرتز دارند از هیپوکامپ منشا می‌گیرند و در ارتباط با حرکات ارادی موش صحرایی است [۲۳، ۵].

توان یا مربع دامنه (بزرگی) امواج EEG و زیر باندهای آن بعنوان معیاری از همزمانی (Synchronization) در نظر گرفته می‌شود بعبارتی افزایش توان شاخصی از افزایش همزمانی است [۲۵]. مطالعات نشان داده اند که همزمانی EEG و زیر باندهای آن در شرایط مختلف فیزیولوژیک و پاتولوژیک تغییر می‌کند به عنوان مثال حرکات آزادانه موش صحرایی در EEG با این رفتگی همزنمانی

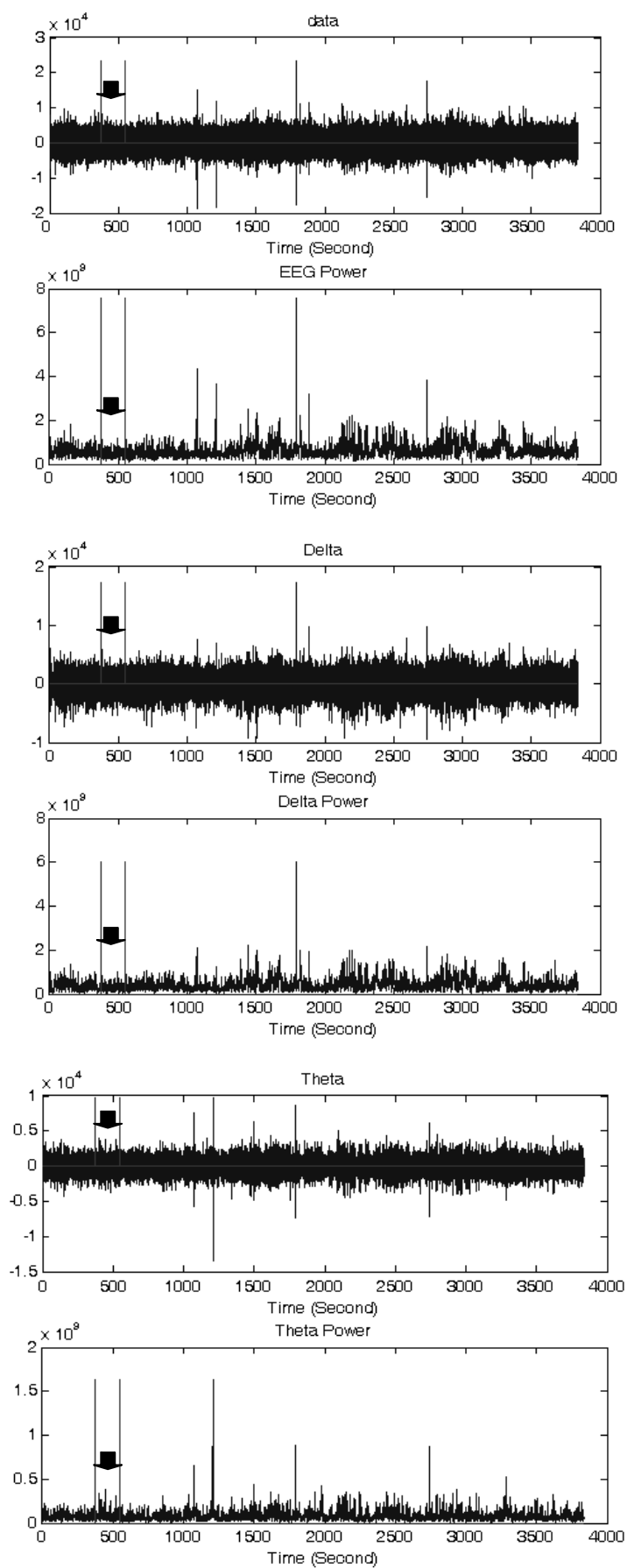
طبقه بندی رفتارهای تشنجی شناخته می شود [۳۰]. بر اساس این طبقه بندی رفتارهای صریعی به مراحل زیر تقسیم می شود: ۱) خیره شدن و انقباضات دهانی ۲) اتوماتیسم ۳) کلونوس یکطرفه اندام جلویی ۴) کلونوس دو طرفه اندام جلویی ۵) کلونوس دو طرفه اندام جلویی به همراه افتادن ۶) تشنجات تونیک و کلونیک. مراحل ۱ تا ۳ جزو تشنجات موضعی و مراحل ۴ تا ۶ مربوط به تشنجات جنراлизه است. شروع صرع با مشاهده اتوماتیسم دهانی شامل حرکات شبه جویدن و همچنین بالا و پایین آوردن تکراری سر گذاری می گردید و پایان تشنج نیز به همین ترتیب با خاتمه این رفتار بر روی سیگنال مشخص می شد. برای پردازش این سیگنالها به منظور حذف نویز و آرتفیکت از یک فیلتر پایین گذر (Low pass) با فرکانس قطع ۱۰۰ هرتز استفاده شد تا نویزهای با فرکانس بالا حذف شوند و در ادامه از یک فیلتر میان نگذر باند باریک (Notch) برای حذف نویز ۵۰ هرتز برق شهر استفاده شد. الکترو انسفالوگرام با استفاده از مبدل ویولت (Fourth-order Daubichies wavelet) دابیشرز مرتبه ۴ transform) به زیرباندهای آلفا، بتا، گاما، تتا و دلتا تجزیه شد و میانگین توان (مربع دامنه) هر یک از زیرباندها در هنگام تشنج و قلل از تشنج در هر یک از موشها بصورت مجرزا محاسبه و میزان تغییر آن به شکل درصد بیان گردید (میانگین توان زیرباند در هنگام تشنج تقسیم بر میانگین توان آن زیرباند قبل از تشنج ضریردر ۱۰۰). سپس میانگین درصد تغییرات هر زیرباند در موشها بدست آمد. نتایج بصورت Mean \pm S.E.M نمایش داده شده اند. داده ها با استفاده از آنالیز واریانس یک طرفه و آزمون تکمیلی توکی آنالیز شدند. در تمام آنالیزها P < 0.05 به عنوان ملاک تفاوت معنی داری آماری در نظر گرفته شد.

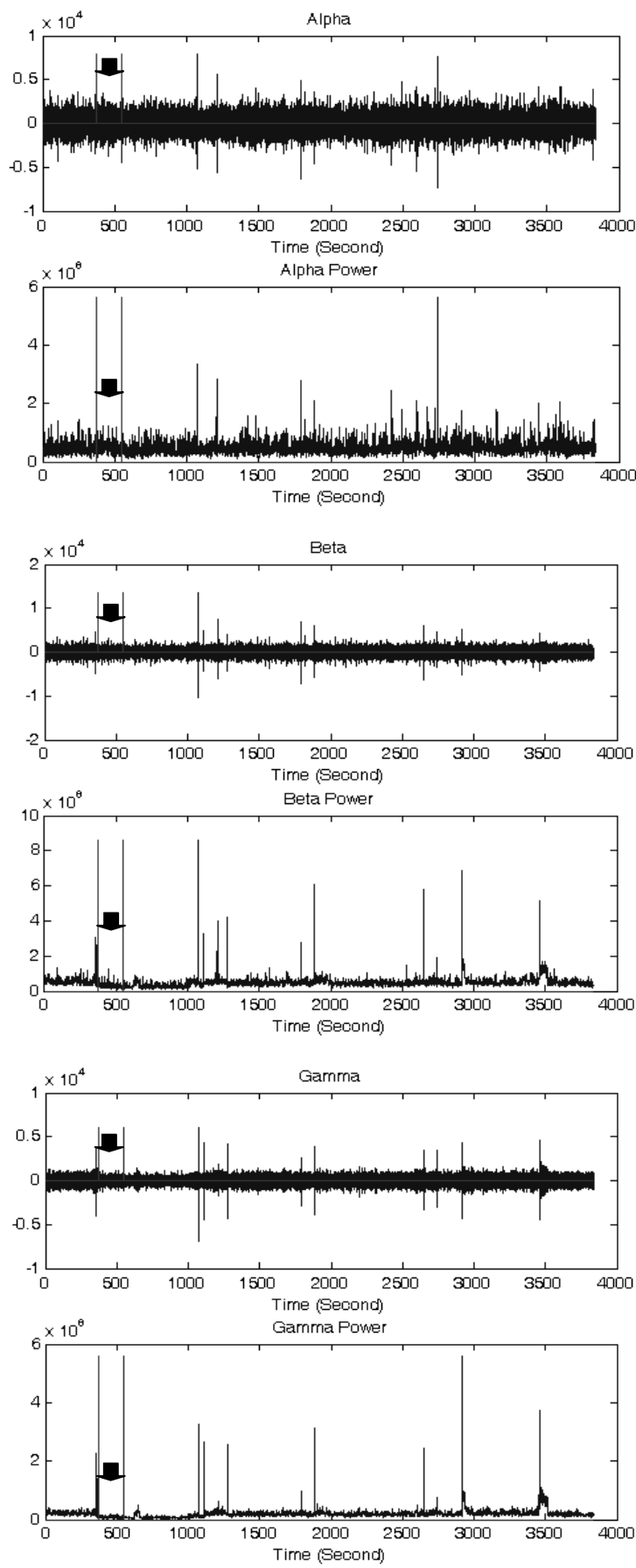
یافته ها

تجویز پیلوکارپین با دوز بکار رفته در این تحقیق در ۶۵ درصد از حیوانات (۱۳ از ۲۰ حیوان) موجب بروز SE گردید. میزان مرگ ناشی از SE ۳۸/۵ درصد (۵ از ۱۳ حیوان) بود.

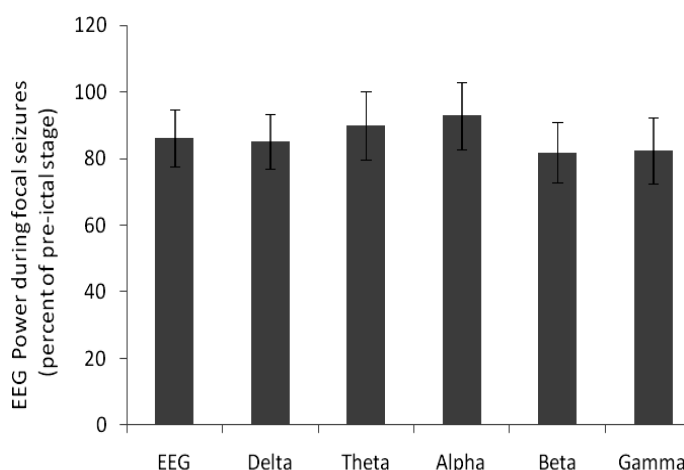
SE، حیوانات به مدت ۲ تا ۳ روز قادر به خوردن و آشامیدن نبودند. در این مدت هر ۱۲ ساعت یکبار ۵ میلی لیتر نرمال سالین ۰/۹ درصد به هر حیوان به روش داخل صفاقی تزریق می شد. بعد از این مرحله حیوانات به داخل محفظه های پلکسی گلاس منتقل شده و حرکات و رفتارهای آن ها به طور شباهه روزی توسط دوربین های دیجیتال (Infra UN-112S Red CCD Unicorn, ۳ میلیمتر) ثبت می شد. این فیلم ها بصورت روزانه مشاهده می شدند. ۴ روز بعد از بروز SE با کمک جراحی استریووتاکسی، الکترود گذاری جهت ثبت EEG در حیوانات انجام می شد. موشهای توسط تزریق داخل صفاقی کتابمین ۶۰ mg/kg و زیالازین ۱۰ mg/kg، بیهوش شده و در دستگاه استریووتاکس (Stoeling, USA) قرار می گرفتند. الکترودها در موقعیت Frontal (۳ میلیمتر در جلوی برگما و ۲ میلی متر در جانب خط وسط) و Occipital (۱ میلیمتر در جلوی نقطه ای لامبدا و ۳/۵ میلیمتر در جانب خط وسط) روی جمجمه ثابت می شدند [۲۲]. از الکترود فرونتال برای ثبت و از الکترود پس سری به عنوان زمین و دیفرنشیال گلاس برگردانده شده و سپس حیوانات به محفظه های پلکسی گلاس برگردانده شده و دوباره توسط دوربین ها کنترل می شدند. بعد از طی دوران بازیابی (Recovery) بین ساعت ۸ تا ۱۶ از حیوانات ثبت الکتروانسفالوگرام گرفته می شد. الکترودهای مربوط به ثبت AC Differential (Band Pass) یک کابل به یک تقویت کننده (DAM 80, WPI) که دارای فیلتر میان گذر (Band Pass) یک دهم تا ۱۰۰۰ هرتز بود، مربوط می شدند. کابل به اندازه ای بلند بود که امکان حرکت آزادانه حیوان فراهم گردد. این ثبت ها با نرخ نمونه برداری یک کیلو هرتز و دقت مبدل آنالوگ به دیجیتال ۱۲ بیت انجام شدند. ثبت های به دست آمده توسط نرم افزار Biochart (Science beam, USA) در کامپیوتر ذخیره می شدند. با توجه به این که در هنگام تشنجات جنراлизه مشکلاتی از قبیل ایجاد آرتفیکت های شدید ناشی از حرکات ناگهانی و شدید موش، قطع و وصل شدن سوکت و ایجاد نویز وجود داشت در این مطالعه فقط تشنجات موضعی مورد بررسی قرار گرفتند.

یکی از علائم رفتاری مشخصه تشنجات موضعی با منشا لوپ گیجگاهی اتوماتیسم (Automatism) یا انجام حرکات غیر رفلکسی و غیر ارادی است [۱۳] که عنوان مرحله دوم





شکل ۱ - نمونه‌ای از
کتروانسفالوگرام و زیرباندهای
تشکیل دهنده آن قبل، در حین و
پس از تشنجات موضعی ناشی از
پلوکاربین. فلاش‌ها نشان دهنده
باشه زمانی آغاز و پایان تشنجات
موضعی هستند.



شکل ۲- درصد توان الکتروانسفالوگرام و زیرباندهای آن در خلال تشنجات موضعی ناشی از پیلوکارپین نسبت به حالت نرمال و قبل از تشنج (۱۰۰٪). بیشترین درصد کاهش در زیرباندهای بتا و گاما و کمترین میزان تغییرات در زیرباندهای آلفا و تتا مشاهده می‌شود.

میکروولت (تقریباً حدود ۱۰۰ میکروولت) و فرکانس آنها بین نیم تا ۱۰۰ هرتز است [۲۶، ۲].

توان یا مریع بزرگی امواج EEG و زیرباندهای آن به عنوان معیاری از همزمانی (Synchronization) در نظر گرفته می‌شود به عبارتی افزایش توان شاخصی از افزایش همزمانی است [۲۵]. نتایج ما نشان داد که همزمانی امواج EEG و زیرباندهایش در هنگام تشنجات موضعی در مدل پیلوکارپین تغییر نمی‌کند. Lee و همکارانش در سال ۲۰۰۰ نشان دادند که در زمان شروع صرع نوکورتیکال امواج تیز ریتمیک در محدوده آلفا و تتا مشاهده می‌شود [۱۷]. در مطالعه دیگری توسط Faught و همکارانش در سال ۱۹۹۶ افزایش همزمانی فقط در زیر باند تتا مشاهده شد [۱]. در مطالعاتی نیز نشان داده شده است که امواج با ولتاژ زیاد تتا به جای امواج آلفا ظاهر می‌شوند [۱۹، ۱۵]. نتایج مطالعات Monto و همکارانش در سال ۲۰۰۶ و همچنین Schevon و همکاران در سال ۲۰۰۷ می‌بین افزایش همزمانی امواج EEG در مناطق اپیلپتوژنیک نوکورتیکس در حین تشنجات موضعی در انسان می‌باشند [۲۱، ۲۴]. در برخی از مدل‌های حیوانی صرع نیز افزایش همزمانی گزارش شده است به عنوان مثال در مطالعه‌ای در سال ۲۰۱۱ در تشنج حاد القا شده با پتیلین تترزاول، افزایش همزمانی در زیرباندهای بتا و گاما مشاهده شد [۳]. افزایش توان زیرباند گاما در طی تشنجات در سایر مدل‌های تشنجی نیز گزارش شده است [۳۳، ۹]. اما از طرف دیگر Bettus و همکاران در سال ۲۰۰۸ نشان دادند که در عین حالی که توان

بطور متوسط $39/4 \pm 5/4$ دقیقه پس از تزریق پیلوکارپین حیوانات دچار SE شدند. تشنجات موضعی در فاصله $0/4 \pm 3/8$ روز و تشنجات فراگیر $5/0 \pm 7$ روز پس از تزریق پیلوکارپین ظاهر شدند.

شکل ۱ نمونه‌ای از EEG ثبت شده قبل، در حین و پس از بروز تشنجات موضعی را نشان می‌دهد. تحلیل داده‌های به دست آمده نشان داد با اینکه توان EEG و زیرباندهایش در هنگام تشنجات موضعی کاهش می‌یابند اما این کاهش از نظر آماری معنی دار نیست. درصد کاهش توان در زیر باند بتا و پس از آن در زیرباند گاما بیشتر از سایر زیرباندها است. از طرف دیگر در زیرباندهای آلفا و تتا حداقل تغییرات رخ می‌دهد (شکل ۲).

بحث

نتایج ما نشان داد که توان EEG و زیرباندهایش در هنگام تشنجات موضعی در مدل صرعی پیلوکارپین دستخوش تغییر معنی داری نمی‌شود. درصد تغییرات توان زیرباندهای بتا و گاما بیشتر از سایر زیرباندها است. از طرف دیگر کمترین میزان تغییرات در زیر باندهای آلفا و تتا مشاهده می‌شود. اما در مجموع این تغییرات معنی دار نیستند.

الکتروانسفالوگرام ثبت فعالیت پتانسیلهای سیناپسی میلیونها سلول هرمی قشر مغز است که دامنه و فرکانس آن در شرایط مختلف تغییر می‌کند. دامنه این امواج معمولاً کمتر از ۳۰۰

گیجگاهی با از بین رفتون هوشیاری همراه هستند [۱۰، ۶]. شاید این امر یکی از دلایل بیشتر بودن میزان کاهش توان زیرباندهای بتا و گاما نسبت به سایر زیرباندها باشد. علاوه بر نتوکورتکس، در هیپوکامپ نیز ریتم گاما (به همراه ریتم بتا) در ارتباط با فعالیتهای رفتاری زیاد می‌شود. در موش صحرایی فعالیت خود به خودی امواج گاما در مناطق وسیعی از هیپوکامپ همزمان است و به نظر می‌رسد که به طور مستقل در نرون‌های ناحیه CA1، CA3، هیلوس و قشر انتورینال تولید شوند [۲۳]. در صرع لوب گیجگاهی و همچنین مدل صرعی پیلوکارپین، آسیب نورونی در ناحیه CA1 و CA3 به ویژه در نرون‌های بینایینی و همچنین قسمتی از قشر انتورینال مشاهده شده است [۸] که شاید یکی دیگر از دلایل کاهش زیاد توان زیرباند گاما نسبت به زیرباندهای دیگر باشد. به علاوه، در مطالعه‌ای در سال ۲۰۰۲ در مدل صرع کاینیک اسید، که یکی از مدل‌های صرع لوب گیجگاهی است، مشخص شد که بین امواج صرعی تیز با فرکانس پایین و امواج گاما حالت آنتاگونیست وجود دارد بطوریکه توان باند گاما در ابتدای شروع صرع افزایش می‌یابد ولی در هنگام فعالیت امواج تیز با فرکانس کم، توان این باند به صورت معنی دار کم می‌شود [۲۰].

در مجموع نتایج این مطالعه نشان می‌دهد که در خلال تشنجات موضعی در مدل پیلوکارپین توان زیرباندهای EEG نسبت به حالت طبیعی و غیر تشنجی مغز دستخوش تغییر معنی داری نمی‌شود. علت این یافته شاید به منطقه ثبت گرفته شده، مدل صرعی بکار رفته و روش آنالیز داده‌ها مربوط باشد. مطالعات بیشتری در راه است تا به این احتمالات پاسخ دهد.

سپاسگزاری

این مطالعه بخشی از رساله دکترای فیزیولوژی دامپزشکی دانشگاه تهران بوده و با بودجه انتستیتو پاستور ایران به شماره طرح ۴۷۲ انجام شده است.

زیرباند بتا در ساختارهای هیپوکامپ، آمیگدال و قشر انتورینال در بیماران دچار صرع لوب گیجگاهی کاهش می‌یابد ولی در توان زیرباندهای آلفا، بتا، گاما و دلتا تغییر معنی داری مشاهده نمی‌شود [۴]. در همین راستا در مطالعه‌ای دیگری در سال ۲۰۰۸ معلوم شد که در طی تشنجات موضعی ناشی از پیلوکارپین در موهای صحرایی توان امواج آلفا و تا حد کمتری توان امواج دلتا و بتا ثبت شده از هیپوکامپ افزایش می‌یابد در حالیکه اگر ثبت از ناحیه فرونتال گرفته شود توان فقط در محدوده امواج دلتا افزایش پیدا می‌کند و در مورد سایر زیرباندها توان تغییری نمی‌کند [۱۰]. بنابراین به نظر می‌رسد که بسته به ناحیه مورد ثبت، نوع مدل صرعی مطالعه شده و پروتکل مورد استفاده برای آنالیز داده‌ها نتایج متفاوت و گاه‌آمیخته می‌باشند. این مطالعه اثبات نمود که شامل افزایش، کاهش و عدم تغییر توان زیرباندهای EEG می‌باشد.

ریتم بتا از سپتوم میانی ناحیه هیپوکامپ موش صحرایی منشاء می‌گیرد [۵] و تحت تأثیر آورانهای کولینرژیک و گابا ارژیک است [۱۲] به طوریکه در حالت بیداری بعد از تجویز پیلوکارپین که آگونیست گیرنده‌های موسکارینی است انسجام (Coherence) بین باند‌های بتا ثبت شده از هیپوکامپ و قشر فرونتال افزایش می‌یابد [۲۷]. از طرفی در مدل صرعی پیلوکارپین میزان گلوتامات خارج سلولی در طی دوران نهفته در هیپوکامپ افزایش می‌یابد [۷]. نتایج مطالعات برون تن (in vitro) نشان می‌دهد که تحریک فارماکولوژیک گیرنده‌های متابوتروپیک گلوتامات سبب ایجاد ریتم هایی در فرکانس آلفا و بتا در نرون‌های قشر تalamوس می‌گردد [۱۶].

مطالعه ما نشان داد که تغییرات توان زیرباندهای بتا و گاما در هنگام تشنجات موضعی بیشترین میزان کاهش را نسبت به سایر زیرباندها نشان می‌دهد. این دو زیرباند معمولاً با هم یا به دنبال هم ثبت می‌شوند [۲۸، ۱۴]. مطالعات نشان داده‌اند که ریتم‌های بتا و گاما در نتوکورتکس حیوانات و انسانهای بیدار و هوشیار ثبت می‌شوند و در ارتباط با هوشیاری، ادرارک و پاسخ به محركهای جدید هستند [۱۴]. تشنجات موضعی صرع لوب

References

- [1] Bartolomei F, Wendling F, Regis J, Gavaret M, Guye M, Chauvel P, Pre-ictal synchronicity in limbic networks of mesial temporal lobe epilepsy. *Epilepsy Res* 61 (2004) 89-104.
- [2] Basar E, Basar-Eroglu C, Karakas S, Schurmann M, Gamma, alpha, delta, and theta oscillations govern cognitive processes. *Int J Psychophysiol* 39 (2001) 241-8.
- [3] Beiso WG, Liu X, Wang L, Medvedev AV, Koka K, Transcutaneous focal electrical stimulation via concentric ring electrodes reduces synchrony induced by pentylenetetrazole in beta and gamma bands in rats. *Int J Neural Syst* 21 (2011) 139-49.
- [4] Bettus G, Wendling F, Guye M, Valton L, Régis J, Chauvel P, Bartolomei F, Enhanced EEG functional connectivity in mesial temporal lobe epilepsy. *Epilepsy Res* 81 (2008) 58-68.
- [5] Bland BH, Colom LV. The physiology and pharmacology of hippocampal formation theta rhythms. *Prog Neurobiol* 41 (1993) 157-208.
- [6] Blumenfeld H, Rivera M, McNally KA, Davis K, Spencer DD, Spencer SS, Ictal neocortical slowing in temporal lobe epilepsy. *Neurology* 63 (2004) 1015-21.
- [7] Cavalheiro EA, Fernandes MJS, Turski L, Naffah-Mazzacoratti MG, Spontaneous re-current seizures in rats: amino acids and monoamines determination in the hippocampus. *Epilepsia* 35 (1994) 1-11.
- [8] Curiaa G, Longob D, Biaginib G, Jonesc RSG, Avoli M, The pilocarpine model of temporal lobe epilepsy. *J Neurosci Methods* 172 (2008) 143-57.
- [9] Curtis M, Gnatkovsky V, Reevaluating the mechanisms of focal ictogenesis the role of low- voltage fast activity. *Epilepsia* 50 (2009) 2514-25.
- [10] Englot DJ, Mishra AM, Mansuripur PK, Herman P, Hyder F, Blumenfeld H, Remote effects of focal hippocampal seizures on the rat neocortex. *J Neurosci* 28 (2008) 9066-81.
- [11] Faught E, Kuzniecky RI, Hurst DC, Ictal EEG wave forms from epidural electrodes predictive of seizure control after temporal lobectomy. *Electroencephalogr Clin Neurophysiol* 9 (1996) 441-8.
- [12] Freund TF, Buzsaki G, Interneurons of the hippocampus. *Hippocampus* 6 (2008) 345-70.
- [13] Gloor P, Neurobiological substrates of ictal behavioral changes. *Adv Neurol* 55 (1991) 1-34.
- [14] Haenschel C, Baldeweg T, Croft R, Whittington MA, Gruzelier J, Gamma and beta frequency cortical oscillation in response to novel auditory stimuli: A comparison of human electroencephalogram (EEG) data with *in vitro* models. *Proc Natl Acad Sci* 97 (2000) 7645-50.
- [15] Hughes SW, Crunelli V, Just a phase they're going through: the complex interaction of intrinsic high-threshold bursting and gap junctions in the generation of thalamic α and θ rhythms. *Int J Psychophysiol* 64 (2007) 3-17.
- [16] Hughes SW, Crunelli V, Thalamic mechanisms of EEG alpha rhythms and their pathological implications. *Neuroscientist* 11 (2005) 357-72.
- [17] Lee SA, Spencer DD, Spencer SS, Intracranial EEG seizure-onset patterns in neocortical epilepsy. *Epilepsia* 41 (2000) 297-307.
- [18] Leung LS, Generation of theta and gamma rhythms in the hippocampus. *Neurosci Biobehav Rev* 22 (1998) 275-90.
- [19] Lopes SF, Blanes W, Kalitzin SN, Parra J, Suffczynski P, Velis DN, Epilepsies as dynamical diseases of brain systems: basic models of the transition between normal and epileptic activity. *Epilepsia* 44 (2003) 72-83.
- [20] Medvedev AV, Epileptiform spikes desynchronize and diminish fast (gamma) activity of the brain: An “anti-binding” mechanism? *Brain Res Bull* 58 (2002) 115-128.
- [21] Monto S, Vanhatalo S, Holmes MD, Palva JM, Epileptogenic neocortical networks are revealed by abnormal temporal dynamics in seizure-free subdural EEG. *Cereb Cortex* 17 (2006) 1386-93.
- [22] Paxinos G, Watson CR, *The rat brain in stereotaxic coordinates*. San Diego, Elsevier Academic Press, 2007.
- [23] Penttonen M, Acsady L, Kamondi A, Buzsaki G, Gamma frequency oscillation in the hippocampus of the rat: intracellular analysis *in vivo*. *Eur J Neurosci* 10 (1998) 718-28.
- [24] Schevon CA, Cappell J, Emerson R, Isler J, Grieve P, Goodman R, McKhann G Jr, Weiner H, Doyle W, Kuzniecky R, Devinsky O, Gilliam F, Cortical abnormalities in epilepsy revealed by local EEG synchrony. *Neuroimage* 35 (2007) 140-8.

- [25] Sebban C, Zhang XQ, Tesolin-Decros B, Millan MJ, Spedding M, Changes in EEG spectral power in the prefrontal cortex of conscious rats elicited by drugs interacting with dopaminergic and noradrenergic transmission. *Br J Pharmacol* 128 (1999) 1045-54.
- [26] Shaker MM, EEG Waves Classifier using Wavelet Transform and Fourier Transform. *Int J Biol Med Sci* 1 (2006) 85-90.
- [27] Tejada S, González JJ, Rial RV, Coenen AML, Gamundí A, Esteban S, Electroencephalogram functional connectivity between rat hippocampus and cortex after pilocarpine treatment. *Neuroscience* 165 (2010) 621-31.
- [28] Traub RD, Whittington MA, Buhl EH, Jefferys JGR, Faulkner H, On the mechanism of the gamma-beta frequency shift in neuronal oscillations induced in rat hippocampal slices by tetanic stimulation. *J Neurosci* 19 (1999) 1088-1105.
- [29] Turski WA, Cavalheiro EA, Schwarz M, Czuczwar SJ, Kleinrok Z, Turski L, Limbic seizures produced by pilocarpine in rats: behavioural, electroencephalographic and neuropathological study. *Behav Brain Res* 9 (1983) 315-35.
- [30] Veliskova J, Behavioral characterization of seizures in rats. In: Pitkänen A, Schwartzkroin PA, Solomon LM, editors. *Models of Seizures and Epilepsy*. Burlington: Elsevier Academic Press, 2006, p. 601-611.
- [31] Vezzani M, French J, Bartfai T, Baram TZ, The role of inflammation in epilepsy. *Nat Rev Neurol* 7 (2011) 31-40.
- [32] Williamson PD, French JA, Thadani VM, Kim JH, Novelly RA, Spencer SS, Spencer DD, Mattson RH, Characteristics of medial temporal lobe epilepsy: Interictal and ictal scalp electroencephalopathy, neuropsychological testing, neuroimaging, surgical results and pathology. *Ann Neurol* 34 (1993) 781-7.
- [33] Worrell GA, Parish L, Cranstoun SD, Jonas R, Baltuch G, Litt B, High-frequency oscillations and seizure generation in neocortical epilepsy. *Brain* 127 (2008) 1496-1506.